

# 一种新的辅助变量法——重复实验辅助变量法

王 缸 曹大铸  
(东南大学)

## 摘要

本文提出了一种新的辅助变量(IV)法——重复实验辅助变量(TRIV, Test-Repeat IV)法。这种方法不但适用于闭环系统辨识，而且具有精度高、速度快、算法简单及易于判阶等优点。在理论上分析了这种方法的一致性，并通过 Monte Carlo 仿真实验证实了这种方法的有效性。

**关键词**——系统辨识，闭合回路系统，辅助变量。

## 一、引言

近年来 IV 法越来越受到广泛的重视。但是迄今为止尚未发现一种既适用于闭环系统辨识又具有精度高、算法简单及易于判阶等特点的 IV 法。目前已有的几种 IV 法，例如延时输入、延时输出、外部输入、超前输入以及精致 IV 法等，都有各自的局限性。特别是 P. E. Wellstead (1978) 提出利用辅助积矩阵判定系统阶次的方法以后，如何选择合适的辅助变量的问题一直未能很好地解决。众所周知，辅助变量选取的标准是与输入输出数据强相关且与系统噪声不相关。本文提出的 TRIV 法的辅助变量符合这个标准，而且得来容易，可以预期这种方法会得到进一步推广。

## 二、系统模型与 TRIV 法

图 1 是一个 SISO 闭环系统。假定反馈  $F(z^{-1})$  未知， $e_{i,k}$  和  $\mu_{i,k}$  都是均值为零，方差分别为  $\sigma_1^2$  和  $\sigma_2^2$  的平稳独立白噪声，外部输入  $r_k$  也是平稳独立过程，且  $r_k, e_{i,k}$  及  $\mu_{i,k}$  都是相互独立的。

图 1 中  $A^*(z^{-1}) = 1 + a_1 z^{-1} + \cdots + a_n z^{-n_a^*}$ ,  $B^*(z^{-1}) = b_1 z^{-1} + \cdots + b_n z^{-n_b^*}$ ,  $F(z^{-1}) = f_0 + f_1 z^{-1} + \cdots + f_n z^{-n_f}$ ,  $C(z^{-1}) = 1 + c_1 z^{-1} + \cdots + c_n z^{-n_c}$ ,  $D(z^{-1}) = 1 + d_1 z^{-1} + \cdots + d_n z^{-n_d}$ ,  $G(z^{-1}) = 1 + g_1 z^{-1} + \cdots + g_n z^{-n_g}$ ,  $H(z^{-1}) = 1 + h_1 z^{-1} + \cdots + h_n z^{-n_h}$ 。其中  $z^{-1}$  是后移算子，即  $z^{-1}x_k = x_{k-1}$ 。这里假定  $A^*(z^{-1})$  和  $B^*(z^{-1})$  是

互质的。

TRIV 法用相同的外部输入  $r_k$  分别对系统做两次实验得两批数据。由于两次实验中进入系统的噪声彼此是独立的, 且两次实验的外部输入相同, 所以两次实验的输入和输出的无噪声项是相同的, 因而两次实验的输入和输出必定强相关。若用这两批数据互为辅助变量, 则可得精度很高的估计量。在实际辨识中往往要做好几个周期的实验, 当周期足够大时, 每个周期的实验都可看成是独立的。

通常我们用  $n_a$  和  $n_b$  代替  $n_a^*$  和  $n_b^*$ , 即用  $A(z^{-1})$  和  $B(z^{-1})$  代替  $A^*(z^{-1})$  和  $B^*(z^{-1})$ 。其中  $A(z^{-1}) = 1 + a_1 z^{-1} + \cdots + a_{n_a} z^{-n_a}$ ,  $B(z^{-1}) = b_1 z^{-1} + \cdots + b_{n_b} z^{-n_b}$ 。为了保证估计量的唯一性, 必须满足  $\min(n_a - n_a^*, n_b - n_b^*) = 0$ 。由图 1 可得

$$y_{i,k} = \frac{B^*(z^{-1})}{A^*(z^{-1})} u_{i,k} + \frac{D(z^{-1})}{C(z^{-1})} e_{i,k} = \frac{B(z^{-1})}{A(z^{-1})} u_{i,k} + \frac{D(z^{-1})}{C(z^{-1})} e_{i,k}, \quad i = 1, 2, \quad (1)$$

$$r_k - u_{i,k} = F(z^{-1}) y_{i,k} + \frac{G(z^{-1})}{H(z^{-1})} \mu_{i,k}, \quad i = 1, 2. \quad (2)$$

其中  $i$  表示实验序号;  $y_{i,k}$ ,  $u_{i,k}$ ,  $e_{i,k}$  和  $\mu_{i,k}$  分别表示第  $i$  次实验的输出、输入、系统噪声和反馈回路噪声。当  $i = 2$  时可得

$$\begin{aligned} y_{2,k} &= -[a_1 y_{2,k-1} + \cdots + a_{n_a} y_{2,k-n_a}] + b_1 u_{2,k-1} + \cdots + b_{n_b} u_{2,k-n_b} \\ &\quad + \frac{A(z^{-1}) D(z^{-1})}{C(z^{-1})} e_{2,k} = \boldsymbol{\phi}_k^T \boldsymbol{\theta}^* + \frac{A(z^{-1}) D(z^{-1})}{C(z^{-1})} e_{2,k}, \end{aligned} \quad (3)$$

$$\begin{aligned} r_k - u_{2,k} &= f_0 y_{2,k} + \cdots + f_{n_f} y_{2,k-n_f} + \frac{G(z^{-1})}{H(z^{-1})} \mu_{2,k} \\ &= \boldsymbol{\phi}_k^T \boldsymbol{\zeta}^* + \frac{G(z^{-1})}{H(z^{-1})} \mu_{2,k}. \end{aligned} \quad (4)$$

其中  $\boldsymbol{\theta}^* = [a_1 \cdots a_{n_a} b_1 \cdots b_{n_b}]^T$ ;  $\boldsymbol{\phi}_k = [-y_{2,k-1} \cdots -y_{2,k-n_a} u_{2,k-1} \cdots u_{2,k-n_b}]^T$ ;  $\boldsymbol{\zeta}^* = [f_0 f_1 \cdots f_{n_f}]^T$ ;  $\boldsymbol{\phi}_k = [y_{2,k} \cdots y_{2,k-n_f}]^T$ 。对式(3)和(4)分别取辅助变量  $\mathbf{z}_k = [-y_{1,k-1} \cdots -y_{1,k-n_a} u_{1,k-1} \cdots u_{1,k-n_b}]^T$  和  $\mathbf{x}_k = [y_{1,k} \cdots y_{1,k-n_f}]^T$ , 因而可得  $\boldsymbol{\theta}^*$  和  $\boldsymbol{\zeta}^*$  的估计值

$$\hat{\boldsymbol{\theta}} = \left[ \frac{1}{N} \sum_{k=1}^N \mathbf{z}_k \boldsymbol{\phi}_k^T \right]^{-1} \left[ \frac{1}{N} \sum_{k=1}^N \mathbf{z}_k y_{2,k} \right], \quad (5)$$

$$\hat{\boldsymbol{\zeta}} = \left[ \frac{1}{N} \sum_{k=1}^N \mathbf{x}_k \boldsymbol{\phi}_k^T \right]^{-1} \left[ \frac{1}{N} \sum_{k=1}^N \mathbf{x}_k (r_k - u_{2,k}) \right]. \quad (6)$$

这里必须满足  $\left[ \frac{1}{N} \sum_{k=1}^N \mathbf{z}_k \boldsymbol{\phi}_k^T \right]$  和  $\left[ \frac{1}{N} \sum_{k=1}^N \mathbf{x}_k \boldsymbol{\phi}_k^T \right]$  非奇异。下面给出(5)和(6)式的递推算法:

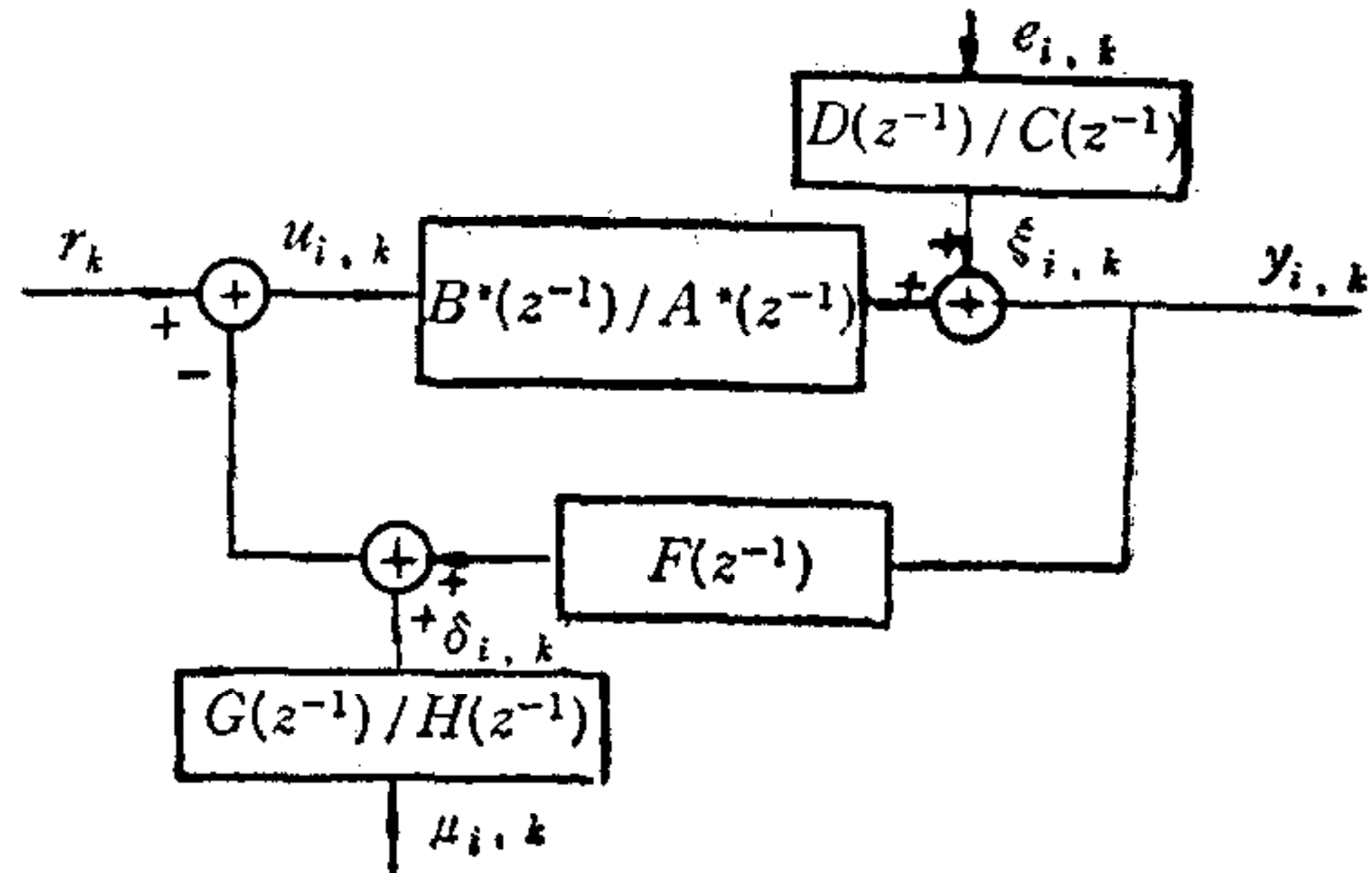


图 1 SISO 闭环系统框图

$$\begin{cases} \hat{\theta}_k = \hat{\theta}_{k-1} - P_{k-1} z_k [\hat{\sigma}_1^2 + \phi_k^T P_{k-1} z_k]^{-1} [\phi_k^T \hat{\theta}_{k-1} - y_{2,k}], \\ P_k = P_{k-1} - P_{k-1} z_k [\hat{\sigma}_1^2 + \phi_k^T P_{k-1} z_k]^{-1} \phi_k^T P_{k-1}, \end{cases} \quad (7a)$$

$$\begin{cases} \hat{\zeta}_k = \hat{\zeta}_{k-1} - Q_{k-1} x_k [\hat{\sigma}_2^2 + \phi_k^T Q_{k-1} x_k]^{-1} [\phi_k^T \hat{\zeta}_{k-1} - r_k + u_{2,k}], \\ Q_k = Q_{k-1} - Q_{k-1} x_k [\hat{\sigma}_2^2 + \phi_k^T Q_{k-1} x_k]^{-1} \phi_k^T Q_{k-1}. \end{cases} \quad (8a)$$

$$\begin{cases} \hat{\theta}_k = \hat{\theta}_{k-1} - P_{k-1} z_k [\hat{\sigma}_1^2 + \phi_k^T P_{k-1} z_k]^{-1} [\phi_k^T \hat{\theta}_{k-1} - y_{2,k}], \\ P_k = P_{k-1} - P_{k-1} z_k [\hat{\sigma}_1^2 + \phi_k^T P_{k-1} z_k]^{-1} \phi_k^T P_{k-1}, \end{cases} \quad (7b)$$

$$\begin{cases} \hat{\zeta}_k = \hat{\zeta}_{k-1} - Q_{k-1} x_k [\hat{\sigma}_2^2 + \phi_k^T Q_{k-1} x_k]^{-1} [\phi_k^T \hat{\zeta}_{k-1} - r_k + u_{2,k}], \\ Q_k = Q_{k-1} - Q_{k-1} x_k [\hat{\sigma}_2^2 + \phi_k^T Q_{k-1} x_k]^{-1} \phi_k^T Q_{k-1}. \end{cases} \quad (8b)$$

(7a)–(8b)式中  $\hat{\sigma}_1^2$  和  $\hat{\sigma}_2^2$  分别是  $\sigma_1^2$  和  $\sigma_2^2$  的估计值, 也可以令  $\hat{\sigma}_1^2 = 1, \hat{\sigma}_2^2 = 1$ .

### 三、TRIV 法的一致性分析

这里只对  $\hat{\theta}$  的一致性进行分析。同理可分析  $\hat{\zeta}$  的一致性, 从略。将(3)式代入(5)式可得

$$\hat{\theta} = \theta^* + \left[ \frac{1}{N} \sum_{k=1}^N z_k \phi_k^T \right]^{-1} \left[ \frac{1}{N} \sum_{k=1}^N z_k \frac{A(z^{-1})D(z^{-1})}{C(z^{-1})} e_{2,k} \right]. \quad (9)$$

假定数据是平稳和各态历经的, 则根据文献[4]可得

$$\lim_{N \rightarrow \infty} \frac{1}{N} \sum_{k=1}^N z_k \phi_k^T = E z_k \phi_k^T, \quad (\text{w.p.1}), \quad (10)$$

$$\lim_{N \rightarrow \infty} \frac{1}{N} \sum_{k=1}^N z_k \frac{A(z^{-1})D(z^{-1})}{C(z^{-1})} e_{2,k} = E z_k \frac{A(z^{-1})D(z^{-1})}{C(z^{-1})} e_{2,k}, \quad (\text{w.p.1}). \quad (11)$$

要使  $\hat{\theta}$  是一致估计, 即  $\lim_{N \rightarrow \infty} \hat{\theta} = \theta^*$  (w.p.1), 由(9)式可以看出必须满足 i)  $R_1 = E z_k \phi_k^T$

非奇异; ii)  $E z_k \frac{A(z^{-1})D(z^{-1})}{C(z^{-1})} e_{2,k} = 0$ . 由于

$$y_{1,k} = \frac{B^*(z^{-1})}{S^*(z^{-1})} r_k - \frac{B^*(z^{-1})}{S^*(z^{-1})} \frac{D(z^{-1})}{C(z^{-1})} \mu_{1,k} + \frac{A^*(z^{-1})}{S^*(z^{-1})} \frac{D(z^{-1})}{C(z^{-1})} e_{1,k}, \quad (12a)$$

$$u_{1,k} = \frac{A^*(z^{-1})}{S^*(z^{-1})} r_k - \frac{A^*(z^{-1})}{S^*(z^{-1})} \frac{D(z^{-1})}{C(z^{-1})} \mu_{1,k} - \frac{F(z^{-1})A^*(z^{-1})}{S^*(z^{-1})} \frac{D(z^{-1})}{C(z^{-1})} e_{1,k}, \quad (12b)$$

其中  $S^*(z^{-1}) = A^*(z^{-1}) + B^*(z^{-1})F(z^{-1}) = 1 + s_1 z^{-1} + \cdots + s_n z^{-n_s^*}$ ;  $n_s^* = \max(n_a^*, n_b^* + n_f)$ , 而且  $e_{2,k}$  与  $r_k, e_{1,k}$  及  $\mu_{1,k}$  不相关, 故有

$$E z_k \frac{A(z^{-1})D(z^{-1})}{C(z^{-1})} e_{2,k} = 0.$$

条件 ii) 成立。关于条件 i) 给出如下定理。

**定理 1.** 对图 1 所示的 SISO 闭环系统, 若采用 TRIV 法进行辨识, 算法如(5)式所示, 假定  $e_{1,k}, e_{2,k}, \mu_{1,k}$  及  $\mu_{2,k}$  都是相互独立的白噪声, 外部输入  $r_k$  是平稳的且与噪声无关,  $S^*(z^{-1})$  的所有零点均严格地在单位圆内, 系统参数  $\theta^*$  唯一存在, 则下面的条件任一成立就使得  $E z_k \phi_k^T$  非奇异。

I)  $r_k$  是激励阶次大于或等于  $n_a + n_b$  的信号;

II)  $r_k$  是一个阶次小于或等于  $n_a + n_b - \max(n_a^*, n_b^* + n_f)$  的 AR 过程。

证明。

$$\begin{aligned}
R_1 &= E \mathbf{z}_k \boldsymbol{\phi}_k^T = E \left[ -\frac{B^*(z^{-1})}{S^*(z^{-1})} r_{k-1} \cdots -\frac{B^*(z^{-1})}{S^*(z^{-1})} r_{k-n_a} \frac{A^*(z^{-1})}{S^*(z^{-1})} r_{k-1} \cdots \right. \\
&\quad \left. \frac{A^*(z^{-1})}{S^*(z^{-1})} r_{k-n_b} \right]^T \cdot \left[ -\frac{B^*(z^{-1})}{S^*(z^{-1})} r_{k-1} \cdots -\frac{B^*(z^{-1})}{S^*(z^{-1})} \right. \\
&\quad \left. \cdots r_{k-n_a} \frac{A^*(z^{-1})}{S^*(z^{-1})} r_{k-1} \cdots \frac{A^*(z^{-1})}{S^*(z^{-1})} r_{k-n_b} \right] \\
&= S(-B^*, A^*) E \left[ \frac{r_{k-1}}{S^*(z^{-1})} \cdots \frac{r_{k-n_a-n_b}}{S^*(z^{-1})} \right]^T \\
&\quad \cdot \left[ \frac{r_{k-1}}{S^*(z^{-1})} \cdots \frac{r_{k-n_a-n_b}}{S^*(z^{-1})} \right] S^T(-B^*, A^*) \\
&= S(-B^*, A^*) \cdot \rho \cdot S^T(-B^*, A^*). \tag{13}
\end{aligned}$$

$S(-B^*, A^*)$  是一个 Sylvester 矩阵。根据引理 1 (所有引理见附录), 当  $\min(n_a - n_a^*, n_b - n_b^*) = 0$ , 且  $A^*(z^{-1})$  和  $B^*(z^{-1})$  互质时,  $S(-B^*, A)$  满秩。<sup>1</sup> 因此为了证明  $E \mathbf{z}_k \boldsymbol{\phi}_k^T$  非奇异, 下面仅需证明  $\rho$  非奇异即可。

$$\rho = E \left[ \frac{r_{k-1}}{S^*(z^{-1})} \cdots \frac{r_{k-n_a-n_b}}{S^*(z^{-1})} \right]^T \left[ \frac{r_{k-1}}{S^*(z^{-1})} \cdots \frac{r_{k-n_a-n_b}}{S^*(z^{-1})} \right]. \tag{14}$$

I) 由引理 2 知, 当  $r_k$  是  $n_a + n_b$  阶持续激励时,  $\frac{r_k}{S^*(z^{-1})}$  也是  $n_a + n_b$  阶持续激励的, 所以  $\rho$  是满秩的, 即  $R_1$  非奇异。

II) 假设有

$$\mathbf{l} = [l_1 \cdots l_{n_a+n_b}]^T, \quad L(z^{-1}) = \sum_{i=1}^{n_a+n_b} l_i z^{-i}, \tag{15}$$

设  $\alpha(z^{-1}) r_k = \beta(z^{-1}) \omega_k$ ,  $\omega_k$  是白噪声, 且  $\alpha(z^{-1}) = 1 + \alpha_1 z^{-1} + \cdots + \alpha_{n_a} z^{-n_a}$ ,  $\beta(z^{-1}) = 1 + \beta_1 z^{-1} + \cdots + \beta_{n_b} z^{-n_b}$ . 若能证明  $\mathbf{l} = 0$  是使  $\rho \cdot \mathbf{l} = 0$  成立的唯一解, 即可证明  $\rho$  非奇异。

$$\begin{aligned}
&E \left[ \frac{1}{S^*(z^{-1})} \cdot \frac{\beta(z^{-1})}{\alpha(z^{-1})} \omega_{k-1} \cdots \frac{1}{S^*(z^{-1})} \cdot \frac{\beta(z^{-1})}{\alpha(z^{-1})} \omega_{k-n_a-n_b} \right]^T \\
&\quad \cdot \left[ \frac{1}{S^*(z^{-1})} \cdot \frac{\beta(z^{-1})}{\alpha(z^{-1})} \omega_{k-1} \cdots \frac{1}{S^*(z^{-1})} \cdot \frac{\beta(z^{-1})}{\alpha(z^{-1})} \omega_{k-n_a-n_b} \right] \cdot \mathbf{l} = 0. \tag{16}
\end{aligned}$$

上式可改写成

$$E \left[ \frac{\beta(z^{-1})}{S^*(z^{-1}) \alpha(z^{-1})} \omega_{k-i} \right] \left[ \frac{L(z^{-1}) \beta(z^{-1})}{S^*(z^{-1}) \alpha(z^{-1})} \omega_k \right] = 0, \quad i = 1, \dots, n_a + n_b. \tag{17}$$

根据 Parseval 定理有

$$\frac{1}{2\pi i} \oint z^j \frac{\beta(z)}{S^*(z) \alpha(z)} \cdot \frac{L(z^{-1}) \beta(z^{-1})}{S^*(z^{-1}) \alpha(z^{-1})} \cdot \frac{dz}{z} = 0, \quad j = 1, \dots, n_a + n_b. \tag{18}$$

上式中的积分路径是单位圆,  $z$  表示复数域中的变量。由(18)式得

$$\begin{aligned}
&\frac{1}{2\pi i} \oint z^{j-1} \frac{\beta(z)}{\alpha(z) S^*(z)} \cdot \frac{L(z^{-1}) z^{n_a+n_b} \beta(z^{-1}) z^{n_b} z^{\max(k, 0)}}{S^*(z^{-1}) z^{n_s} \alpha(z^{-1}) z^{n_a} z^{\max(-k, 0)}} dz = 0, \\
&j = 1, \dots, n_a + n_b. \tag{19}
\end{aligned}$$

其中  $K = n_s^* + n_a - n_a - n_b - n_\beta$ . 令

$$f(z) = \frac{\beta(z)}{\alpha(z)S^*(z)} \cdot \frac{L(z^{-1})z^{n_a+n_b}\beta(z^{-1})z^{n_\beta}z^{\max(k,0)}}{S^*(z^{-1})z^{n_s^*}\alpha(z^{-1})z^{n_a}z^{\max(-k,0)}}, \quad (20)$$

不难看出,  $f(z)$  在单位圆内的极点数为  $n_s^* + n_a + \max(-k, 0)$ ; 而  $f(z)$  在单位圆内的零点数, 除  $z^{j-1}$  之外, 为  $n_a + n_b - 1 + n_\beta + \max(k, 0)$ . 根据引理 3, 若

$$n_a + n_b + n_\beta - 1 + \max(k, 0) < n_s^* + n_a + \max(-k, 0) \leq n_a + n_b, \quad (21)$$

则  $f(z)$  在单位圆内的极点数多于零点数, 这样能使(19)式成立的唯一解是  $L(z^{-1}) = 0$ , 即  $l = 0$ .

化简(21)式可得  $n_\beta = 0, n_a \leq n_a + n_b - n_s^* = n_a + n_b - \max(n_a^*, n_b^* + n_f)$ , 所以  $r_k$  是一个 AR 过程, 其阶次小于或等于  $n_a + n_b - \max(n_a^*, n_b^* + n_f)$ . 证毕.

#### 四、TRIV 法在系统结构辨识中的应用

P. E. Wellstead<sup>[5]</sup> 提出了用辅助积矩矩阵判定系统的阶次, 这种方法的精度较高. 但是如何选取合适的辅助变量却是一个棘手的问题. 本文提出的 TRIV 法较好地解决了这个问题. 系统仍如图 1 所示, 且不妨令  $n_a^* = n_b^* = n$ , 定义辅助积矩矩阵为

$$\Lambda_n = \frac{1}{N} \sum_{k=1}^N \mathbf{z}_k \boldsymbol{\phi}_k^T. \quad (22)$$

其中  $\boldsymbol{\phi}_k = [-y_{2,k-1} \cdots \cdots \cdots -y_{2,k-n} \ u_{2,k-1} \cdots \cdots \cdots u_{2,k-n}]^T$ ;  $\mathbf{z}_k = [-y_{1,k-1} \cdots \cdots \cdots -y_{1,k-n} \ u_{1,k-1} \cdots \cdots u_{1,k-n}]^T$ . 根据文献[4],

$$\lim_{N \rightarrow \infty} \Lambda_n = \lim_{N \rightarrow \infty} \frac{1}{N} \sum_{k=1}^N \mathbf{z}_k \boldsymbol{\phi}_k^T = E \mathbf{z}_k \boldsymbol{\phi}_k^T, \text{ (w.p.1).} \quad (23)$$

根据文献[5],

$$\text{Rank}[E \mathbf{z}_k \boldsymbol{\phi}_k^T] = \min(\hat{n} + n, 2\hat{n}),$$

这样就可以根据辅助积矩矩阵秩的情况求出  $n$ . 通常我们用辅助积矩矩阵的行列式值之比来判阶. 辅助行列式之比(IDR)定义如下:

$$\text{IDR}(\hat{n}) = \det[\Lambda_{\hat{n}}]/\det[\Lambda_{\hat{n}+1}]. \quad (24)$$

当  $\hat{n} = n$  时, IDR( $\hat{n}$ ) 之值将迅速上升, 采用重复实验辅助变量, 这种上升要比普通积矩矩阵的行列式值之比的上升显著得多.

#### 五、噪声模型的估计

有时我们需要估计噪声模型. 假定  $\hat{\lambda}_k = [\hat{c}_1 \cdots \hat{c}_{n_c} \hat{d}_1 \cdots \hat{d}_{n_d}]_k^T, \hat{\eta}_k = [\hat{h}_1 \cdots \hat{h}_{n_h} \hat{g}_1 \cdots \hat{g}_{n_g}]_k^T$ , 下面给出噪声模型参数估计的迭代-递推算法:

$$\begin{cases} \hat{\lambda}_k = \hat{\lambda}_{k-1} - T_{k-1} \hat{\rho}_k [2\hat{\sigma}_1^2 + \hat{q}_k^T T_{k-1} \hat{\rho}_k]^{-1} [\hat{q}_k^T \hat{\lambda}_{k-1} - \hat{\xi}_k], \end{cases} \quad (25a)$$

$$\begin{cases} T_k = T_{k-1} - T_{k-1} \hat{\rho}_k [2\hat{\sigma}_1^2 + \hat{q}_k^T T_{k-1} \hat{\rho}_k]^{-1} \hat{q}_k^T T_{k-1}, \end{cases} \quad (25b)$$

$$\begin{cases} \hat{\eta}_k = \hat{\eta}_{k-1} - \Gamma_{k-1} \hat{m}_k [2\hat{\sigma}_2^2 + \hat{n}_k^T \Gamma_{k-1} \hat{m}_k]^{-1} [\hat{n}_k^T \hat{\eta}_{k-1} - \hat{\delta}_k] \end{cases} \quad (26a)$$

$$\begin{cases} \Gamma_k = \Gamma_{k-1} - \Gamma_{k-1} \hat{m}_k [2\hat{\sigma}_2^2 + \hat{n}_k^T \Gamma_{k-1} \hat{m}_k]^{-1} \hat{n}_k^T \Gamma_{k-1}. \end{cases} \quad (26b)$$

其中  $\hat{\mathbf{p}}_k = [-\hat{\xi}_{k-1}^* \cdots \cdots -\hat{\xi}_{k-n_c}^* \hat{e}_{k-1}^* \cdots \cdots \hat{e}_{k-1}^* \cdots \cdots \hat{e}_{k-n_d}^*]^T$ ;  $\hat{\mathbf{q}}_k = [-\hat{\xi}_{k-1} \cdots \cdots -\hat{\xi}_{k-n_c} \cdot \hat{e}_{k-1} \cdots \cdots \hat{e}_{k-n_d}]$ ;  $\hat{\mathbf{m}}_k = [-\hat{\delta}_{k-1}^{**} \cdots \cdots -\hat{\delta}_{k-n_h}^{**} \hat{\mu}_{k-1}^{**} \cdots \cdots \hat{\mu}_{k-n_g}^{**}]^T$ ;  $\hat{\mathbf{n}}_k = [-\hat{\delta}_{k-1} \cdots \cdots \hat{\delta}_{k-n_h} \hat{\mu}_{k-1} \cdots \cdots \hat{\mu}_{k-n_g}]^T$ 。 “\*”表示经过滤波器  $1/\hat{D}_{j-1}(z^{-1})$  滤波, “\*\*”表示经过滤波器  $1/\hat{G}_{j-1}(z^{-1})$  滤波。 $\hat{D}_{j-1}(z^{-1})$  和  $\hat{G}_{j-1}(z^{-1})$  是第  $j-1$  次迭代后  $D(z^{-1})$  和  $G(z^{-1})$  的估计。 $\hat{\xi}_k$ ,  $\hat{\delta}_k$ ,  $\hat{e}_k$  和  $\hat{\mu}_k$  的计算公式为  $\hat{\xi}_k = y_{1,k} - y_{2,k} - \frac{\hat{B}(z^{-1})}{\hat{A}(z^{-1})} (u_{1,k} - u_{2,k})$ ,  $\hat{\delta}_k = -\hat{F}(z^{-1}) \times (y_{1,k} - y_{2,k}) - (u_{1,k} - u_{2,k})$ ,  $\hat{e}_k = \hat{\xi}_k - \hat{q}_k^T \hat{\lambda}_k$ ,  $\hat{\mu}_k = \hat{\delta}_k - \hat{\mathbf{n}}_k^T \hat{\eta}_k$ 。 $\hat{\sigma}_1^2$  和  $\hat{\sigma}_2^2$  的估计公式为  $\hat{\sigma}_1^2 = \frac{1}{2N} \sum_{k=1}^N \hat{e}_k^2$ ,  $\hat{\sigma}_2^2 = \frac{1}{2N} \sum_{k=1}^N \hat{\mu}_k^2$ 。也可令  $\hat{\sigma}_1^2 = \hat{\sigma}_2^2 = 1$ 。

## 六、Monte Carlo 仿真实验

下面通过 Monte Carlo 仿真实验验证 TRIV 法的有效性。选择一个较普通的系统为例,用 TRIV 法和外部输入法进行比较。系统如图 1 所示,选外部输入  $r_k$  为伪随机二位式信号,其幅值为  $R$ ,两个噪声  $e_{i,k}$  和  $\mu_{i,k}$  都是均值为零,方差为  $\sigma^2$  的白噪声信号。定义信噪比为

$$S = \sum_{k=1}^N r_k^2 / \sum_{k=1}^N e_{i,k}^2 \doteq \frac{R^2}{\sigma^2}.$$

改变信噪比和数据量并在 20 次随机实验的基础上得出整体平均估计值。为了节省篇幅,仅给出数据量  $N = 1000$  时的仿真结果( $N = 500$  亦可,精度相对稍差一些),见表 1。表中第三、七列的“估计值 1”是用外部输入  $r_k$  为辅助变量的估计值。这两个估计值都是 20 次随机实验中所得出的最好的一次结果(其整体平均估计值的精度很差,故在表中没给出)。第四、八列是 TRIV 法的整体平均估计值。第五、九列是 TRIV 法估计值相对于参数真值的标准差。第六、十列是相对于整体平均估计值的标准差。

表 1 闭环系统仿真实验结果

系统参数名	系统参数真值	$s = 10$				$s = 20$			
		估计值 1	估计值	真值误差	均值误差	估计值 1	估计值	真值误差	均值误差
$a_1$	-0.7300	-0.7706	-0.6761	0.0738	0.0797	-0.6110	-0.7431	0.0179	0.0176
$a_2$	0.3400	0.3203	0.3393	0.0021	0.0021	0.2530	0.3512	0.0329	0.0319
$b_0$	1.0000	0.8876	1.0005	0.0005	0.0005	0.3864	0.9937	0.0063	0.0063
$b_1$	0.8000	0.8758	0.7422	0.0722	0.0779	0.5554	0.7834	0.0208	0.0212
$f_0$	1.0000	0.6155	1.0129	0.0129	0.0127	0.7809	1.0044	0.0044	0.0044
$f_1$	-0.2500	-0.2403	-0.2590	0.0360	0.0347	0.2409	-0.2554	0.0216	0.0211
$c_1$	-0.8000		-0.9123	0.1404	0.1231		-0.8530	0.0662	0.0621
$d_1$	-0.6000		-0.5161	0.1398	0.1626		-0.5419	0.0968	0.1072
$c_2$	-0.7000		-0.5820	0.1686	0.2027		-0.5916	0.1549	0.1832
$d_2$	-0.5000		-0.3782	0.2436	0.3221		-0.4211	0.1578	0.1874

注: 数据量  $N = 1000$ 。

表 2 给出了数据量和信噪比不同的情况下进行 20 次随机实验所得正确判阶次数。可以看出结果还是比较满意的。判阶失误时误差不超过  $\pm 1$  阶。

表 2 正确判阶次数/20 次实验

正确判 阶次数 数据量 $N$	信噪比 $s$	
	$s = 10$	$s = 20$
$N = 500$	12	14
$N = 1000$	16	16

## 附录

**定义 1.** 考虑两个多项式  $A^*(z^{-1}) = a_0 z^{n_a^*} + \dots + a_{n_a^*}$ ,  $B^*(z^{-1}) = b_0 z^{n_b^*} + \dots + b_{n_b^*}$ 。当  $\min(n_a - n_a^*, n_b - n_b^*) = 0$  时的  $(n_a + n_b) \times (n_a + n_b)$  维 Sylvester 矩阵如下定义:

$$S(A, B) = \begin{bmatrix} a_0 & a_1 & \cdots & a_{n_a^*} & 0 \\ \vdots & \ddots & \ddots & \ddots & \vdots \\ 0 & \ddots & a_0 & a_1 & \cdots & a_{n_a^*} \\ \cdots & \cdots & \cdots & \cdots & \cdots & \cdots \\ b_0 & b_1 & \cdots & b_{n_b^*} & 0 \\ \vdots & \ddots & \ddots & \ddots & \vdots \\ 0 & \ddots & b_0 & b_1 & \cdots & b_{n_b^*} \end{bmatrix} \quad (A.1)$$

**引理 1.** 考虑如(A.1)所示的 Sylvester 矩阵  $S(A, B)$ , 若  $A(z)$  和  $B(z)$  有  $K$  个相同零点, 则

$$\text{Rank } S(A, B) = n_a + n_b - K.$$

**引理 2.** 设  $u(t)$  是具有谱密度矩阵  $\varphi_u(\omega)$  的多变量遍历信号。假定  $\varphi_u(\omega)$  至少在  $n$  个不同频率处是正定的。若  $H(q^{-1})$  是一个(多变量)渐近稳定的滤波器且  $\det[H(z)]$  在单位圆上无零点, 则滤波信号  $y(t) = H(q^{-1})u(t)$  是  $n$  阶持续激励的。

**引理 3.** 考虑函数

$$f(z) = \frac{g(z)}{\prod_{i=1}^k (z - \mu_i)^{t_i}}, \quad (A.2)$$

其中  $g(z)$  在单位圆内及单位圆上是解析的, 复数  $\{\mu_i\}$  满足  $|\mu_i| < 1$  且是互异的,  $t_i$  是大于或等于 1 的整数。假定下式成立

$$\frac{1}{2\pi i} \oint f(z) z^j \cdot \frac{dz}{z} = 0, \quad j = 1, \dots, m, \quad (A.3)$$

积分路径是单位圆, 且

$$\sum_{i=1}^k t_i \leq m, \quad (A.4)$$

则  $f(z)$  在单位圆内解析。

以上所有引理见参考文献[2]。

## 参 考 文 献

- [1] Söderström, T. and Stoica, P., Comparison of Some Instrumental Variable Methods—Consistency and Accuracy Aspects, *Automatica*, 17(1981), 101—115.
- [2] Söderström, T. and Stoica, P., *Instrumental Variable Methods for System Identification*, Springer-Verlag, Berlin, (1983).

- [3] Young, P. C. and Jakeman, A. J., Refind Instrumental Variable Methods of Recursive Time—Series Analysis, Part I, Single Input and Single Output Systems, *Int. J. Control.*, 29(1979), 1—30.
- [4] Söderström, T., Ergodicity Results for Sample Covariances, *Problems of Control and Information Theory*, 4(1975), 131—138.
- [5] Wellstead, P. E., An Instrumental Product Moment Test for Model Order Estimation, *Automatica* 14 (1978), 89—91.

## A NEW INSTRUMENTAL VARIABLE METHOD ——THE TEST REPEAT INSTRUMENTAL VARIABLE METHOD

WANG HONG CAO DAZHU

(*Southeast University*)

### ABSTRACT

In this paper, a new instrumental variable (IV) method—the Test Repeat IV (TRIV) method is put forth. This method is applicable to the identification of closed-loop systems. And it is accurate, rapid, simple in algorithm, easy in order determination. Its consistency problem is analyzed and its validity is testified by Monte Carlo simulation experiments.

**Key words**—System identification; closed-loop system; instrumental variable consistency.